1 Метеорологические условия

1.1 Синоптический обзор

Кинематические карты, приведенные на рис. 1-1−1-2, отражают траектории циклонов (синий цвет) и антициклонов (красный цвет) в течение месяца. Положение центров приведено за срок 00 ВСВ каждых суток. За барическими объектами закреплен номер, по которому из ниже следующей таблицы можно определить координаты и давление в центре объектов в срок 00 ВСВ каждых суток.

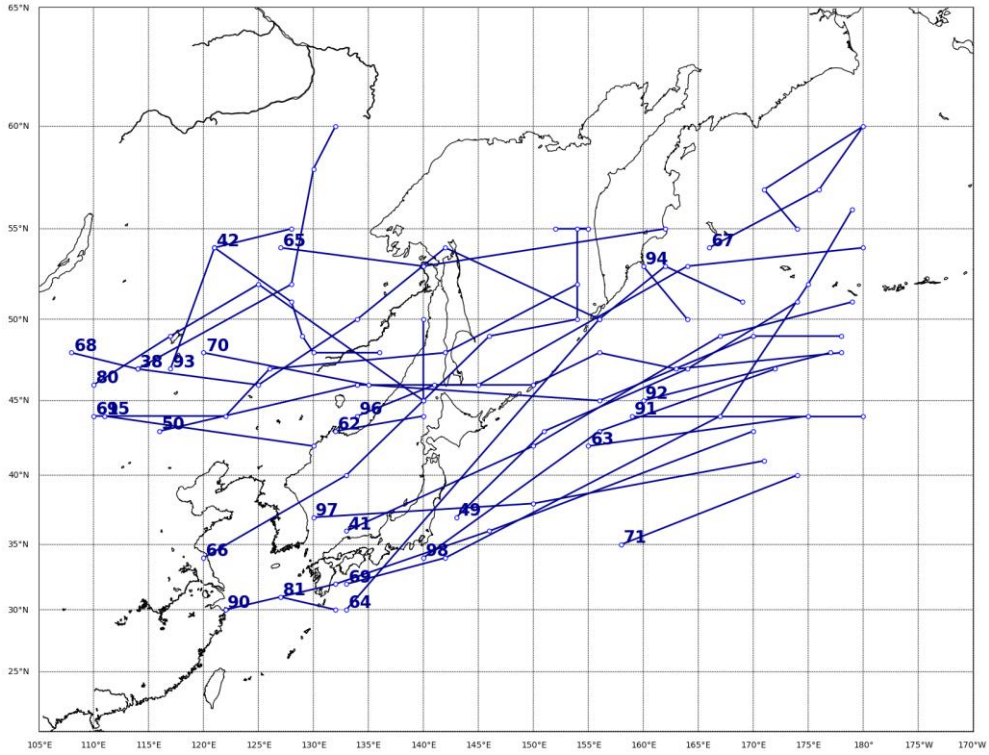


Рис. 1-1 Траектории движения циклонов в апреле 2026 г.

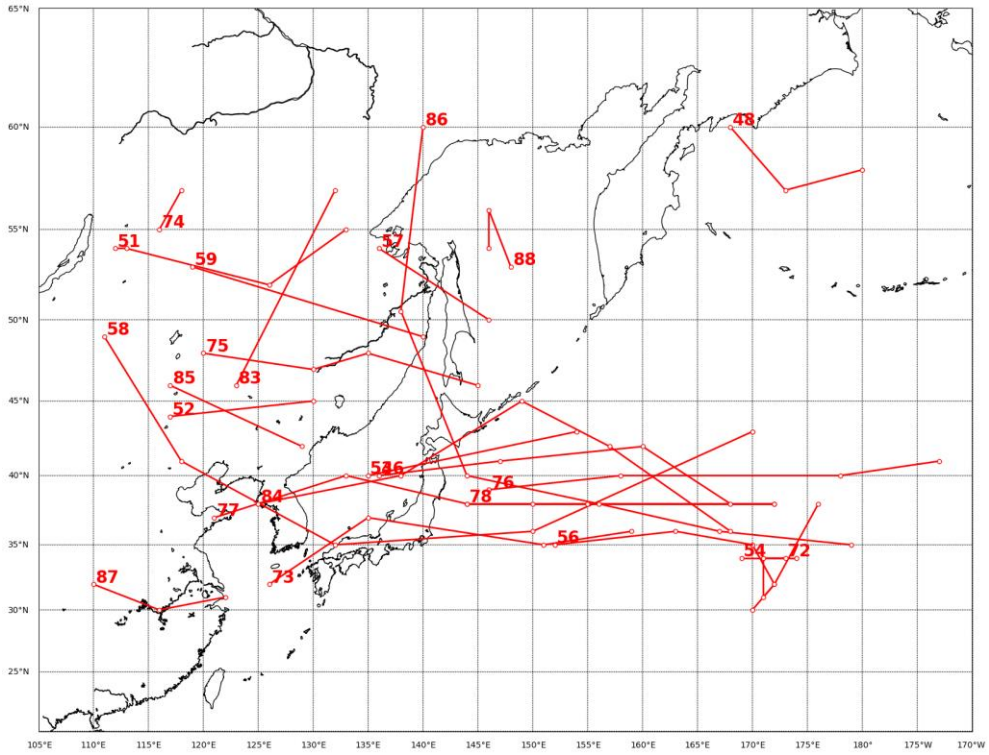


Рис. 1-1 Траектории движения антициклонов в апреле 2026 г.

Координаты центров циклонов и антициклонов и давление в их центрах в апреле (в срок 00 ВСВ)									
Циклоны					Антициклоны				
Номер	Дата	Широта	Долгота	Давление	Номер	Дата	Широта	Долгота	Давление
38	28.03.2026	47	114	1012	46	29.03.2026	40	136	1020
38	29.03.2026	46	125	1004	46	30.03.2026	41	147	1026
38	30.03.2026	50	134	1006	46	31.03.2026	42	160	1028
38	31.03.2026	54	142	1010	46	01.04.2026	38	168	1030
38	01.04.2026	50	156	1004	48	31.03.2026	60	168	1022
38	02.04.2026	53	162	994	48	01.04.2026	57	173	1020
38	03.04.2026	51	169	1002	48	02.04.2026	58	180	1018
41	31.03.2026	36	133	998	51	01.04.2026	54	112	1022
41	01.04.2026	42	150	998	51	02.04.2026	54	113	1016
41	02.04.2026	49	167	994	51	03.04.2026	52	126	1014
41	03.04.2026	51	179	1004	51	04.04.2026	55	133	1012
42	31.03.2026	54	121	998	52	01.04.2026	44	117	1022
42	01.04.2026	55	128	998	52	02.04.2026	45	130	1016
49	02.04.2026	37	143	996	53	01.04.2026	40	135	1016
49	03.04.2026	43	151	982	53	02.04.2026	43	154	1018
49	04.04.2026	47	164	984	54	02.04.2026	34	169	1026
49	05.04.2026	51	174	998	54	03.04.2026	34	174	1024
50	03.04.2026	43	116	996	56	04.04.2026	35	152	1026
50	04.04.2026	46	134	1000	56	05.04.2026	36	163	1030
50	05.04.2026	46	145	998	56	06.04.2026	35	170	1028
50	06.04.2026	53	164	994	56	07.04.2026	32	172	1028

Координаты центров циклонов и антициклонов и давление в их центрах в апреле (в срок 00 ВСВ)									
Циклоны					Антициклоны				
Номер	Дата	Широта	Долгота	Давление	Номер	Дата	Широта	Долгота	Давление
50	07.04.2026	54	180	990	56	08.04.2026	30	170	1026
61	04.04.2026	44	110	998	57	05.04.2026	54	136	1014
61	05.04.2026	44	122	996	57	06.04.2026	50	146	1020
61	06.04.2026	47	126	1000	58	06.04.2026	49	111	1022
61	07.04.2026	48	142	996	58	07.04.2026	41	118	1022
61	08.04.2026	52	154	974	58	08.04.2026	35	132	1022
62	06.04.2026	43	132	1002	58	09.04.2026	36	150	1024
62	07.04.2026	44	140	996	58	10.04.2026	43	170	1030
63	06.04.2026	42	155	1008	59	09.04.2026	53	119	1010
63	07.04.2026	44	175	1006	59	10.04.2026	49	140	1010
64	07.04.2026	30	133	1002	72	11.04.2026	34	173	1026
64	08.04.2026	50	156	976	72	12.04.2026	34	171	1024
65	08.04.2026	54	127	992	72	13.04.2026	31	171	1022
65	09.04.2026	53	140	986	72	14.04.2026	32	172	1022
65	10.04.2026	55	162	988	72	15.04.2026	38	176	1022
66	09.04.2026	34	120	1000	73	11.04.2026	32	126	1014
66	10.04.2026	40	133	992	73	12.04.2026	37	135	1018
66	11.04.2026	45	140	982	73	13.04.2026	35	151	1020
66	12.04.2026	49	146	982	73	14.04.2026	36	159	1020
66	13.04.2026	50	154	988	74	13.04.2026	55	116	1026
66	14.04.2026	55	154	990	74	14.04.2026	57	118	1018
66	15.04.2026	55	155	998	75	13.04.2026	48	120	1024
66	16.04.2026	55	152	1010	75	14.04.2026	47	130	1022
67	13.04.2026	54	166	994	75	15.04.2026	48	135	1020
67	14.04.2026	57	176	998	75	16.04.2026	46	145	1022
67	15.04.2026	60	180	998	76	14.04.2026	39	146	1020
67	16.04.2026	57	171	1002	76	15.04.2026	40	158	1022
67	17.04.2026	55	174	1008	76	16.04.2026	40	178	1026
68	14.04.2026	48	108	1012	76	17.04.2026	41	187	1028
68	15.04.2026	47	114	1000	77	15.04.2026	37	121	1014
68	16.04.2026	52	128	998	77	16.04.2026	40	133	1022
68	17.04.2026	58	130	1006	77	17.04.2026	38	144	1024
68	18.04.2026	60	132	1012	77	18.04.2026	38	155	1024
69	15.04.2026	32	133	1008	77	19.04.2026	38	172	1026
69	16.04.2026	34	142	1004	78	17.04.2026	38	144	1024
69	17.04.2026	44	167	992	78	18.04.2026	38	150	1024
69	18.04.2026	52	175	966	78	19.04.2026	38	172	1026
69	19.04.2026	56	179	962	83	18.04.2026	46	123	1018
70	17.04.2026	48	120	1004	83	19.04.2026	57	132	1020
70	18.04.2026	46	135	1002	84	18.04.2026	38	125	1018
70	19.04.2026	45	156	1000	84	19.04.2026	40	138	1018
70	20.04.2026	49	170	988	84	20.04.2026	45	149	1020

Координаты центров циклонов и антициклонов и давление в их центрах в апреле (в срок 00 ВСВ)									
Циклоны					Антициклоны				
Номер	Дата	Широта	Долгота	Давление	Номер	Дата	Широта	Долгота	Давление
70	21.04.2026	49	178	986	84	21.04.2026	42	157	1022
71	17.04.2026	35	158	998	84	22.04.2026	36	168	1018
71	18.04.2026	40	174	992	85	22.04.2026	46	117	1020
80	18.04.2026	46	110	996	85	23.04.2026	42	129	1014
80	19.04.2026	49	117	990	86	23.04.2026	60	140	1024
80	20.04.2026	52	125	994	86	24.04.2026	50	138	1022
80	21.04.2026	45	140	986	86	25.04.2026	40	144	1024
80	22.04.2026	50	140	996	86	26.04.2026	38	156	1028
81	19.04.2026	31	127	1010	86	27.04.2026	36	167	1030
81	20.04.2026	30	132	1010	86	28.04.2026	35	179	1030
90	22.04.2026	30	122	1006	87	23.04.2026	32	110	1016
90	23.04.2026	32	132	1002	87	24.04.2026	30	116	1018
90	24.04.2026	36	146	1000	87	25.04.2026	31	122	1020
90	25.04.2026	43	170	990	88	27.04.2026	53	148	1020
91	22.04.2026	44	159	1004	88	28.04.2026	56	146	1014
91	23.04.2026	44	180	1000	88	29.04.2026	54	146	1012
92	23.04.2026	45	160	1004					
92	24.04.2026	48	177	1004					
93	23.04.2026	47	117	1006					
93	24.04.2026	54	121	1008					
93	25.04.2026	51	128	1006					
93	26.04.2026	49	129	1010					
93	27.04.2026	48	130	1012					
93	28.04.2026	48	136	1012					
94	24.04.2026	53	160	1006					
94	25.04.2026	50	164	1002					
95	25.04.2026	44	111	1006					
95	26.04.2026	42	130	1010					
96	26.04.2026	44	134	1010					
96	27.04.2026	46	141	1010					
96	28.04.2026	46	150	1000					
96	29.04.2026	48	156	994					
96	30.04.2026	47	163	996					
96	01.05.2026	48	178	992					
97	28.04.2026	37	130	1008					
97	29.04.2026	38	150	1008					
97	30.04.2026	41	171	996					
98	27.04.2026	34	140	1004					
98	28.04.2026	43	156	986					
98	29.04.2026	47	172	982					

I декада апреля 2026 г.

Японское море

В начале первой декады над акваторией Японского моря располагалось поле повышенного давления. 4 апреля на акваторию моря вышла циклоническая система. На север моря вышел циклон с давлением в центре 998 гПа, на южную часть акватории − циклон с давлением в центре 992 гПа. Незначительно углубляясь, первый циклон двигался на восток, северо-восток со скоростью 40 км/ч, второй − на северо-восток со скоростью 60 км/ч. 5 апреля циклоническая система отошла на восток. С этим процессом скорость ветра в Японском море не превышала 9−14 м/с, волнение − до 2 м.

6−7 апреля над северной половиной акватории проследовала двухцентровая депрессия, с глубиной циклонов 996−1000 гПа. В тылу депрессии ветер усиливался до 9−14 м/с, волнение развивалось до 2−3 м.

8 апреля над югом акватории прошел антициклон с давлением в центре 1022 гПа. Он перемещался на восток со скоростью 60 км/ч. 9 апреля был над северо-западной частью Тихого океана с давлением в центре 1024 гПа.

В конце декады, 10 апреля, на акваторию моря вышел южный циклон с давлением в центре 992 гПа. Он двигался в северо-восточном направлении со скоростью 40 км/ч, в конце суток находился в районе Сангарского пролива с давлением в центре 982 гПа. Циклон вызвав усиление ветра до 12−17 м/с, волнение до 2−3 м.

Охотское море

В начале декады над Охотским морем наблюдалось поле повышенного давления, с ядром мощностью 1014 гПа вблизи Камчатки.

5 апреля на южную часть акватории вышел циклон с давлением в центре 998 гПа. Он двигался на восток, северо-восток со скоростью 40−50 км/ч, 6 числа через северные Курилы с давлением в центре 996 гПа переместился к юго-восточному побережью Камчатки. Циклон не вызвал существенного усиления ветра и волн.

6 апреля над южной половиной моря в восточном направлении проследовало ядро с давлением в центре 1020 гПа.

7 апреля с Татарского пролива на западную часть Охотского моря переместилась двухцентровая депрессия, глубина циклонов составляла 992−996 гПа. Над центральной частью моря 8 числа циклоны объединились в один вихрь с давлением в центре 974 гПа. Двигаясь на север, северо-восток со скоростью 40 км/ч, циклон продолжал углубляться. Этому способствовало пополнение системы южным циклоном. Минимальное давление в центре циклона − 958 гПа, отмечалось в 18 ВСВ 8 апреля. В это время циклон приблизился к заливу Шелихова. 9 числа с давлением в центре 966 гПа он вышел на материк и, продолжая заполняться, двигался на север со скоростью 20 км/ч. Ветер на акватории моря усиливался до 20−25 м/с, волнение развивалось до 4−5 м.

9 апреля над центральной частью акватории проследовал западный циклон с давлением в центре 986 гПа. 10 апреля, незначительно заполнившись, он перевалил через юг Камчатки и вышел на акваторию северо-западной части Тихого океана. Ветер в зоне циклона оставался сильным до 15−20 м/с, волнение − до 3−4 м.

Берингово море

В начале декады над большей частью акватории Берингова моря сохранялось поле повышенного давления.

4 апреля на западе акватории началось влияние многоцентровой депрессии, которая приближалась с юга, с акватории Тихого океана. 5 числа один из циклонов с давлением в центре 998 гПа в стадии высокого барического образования вышел на западную часть моря, перешел в малоподвижное состояние, начал заполняться. В период 4−5 апреля над западной половиной моря ветры восточной четверти усиливались до 15−20 м/с, волнение развивалось до 3−4 м.

6 числа к западной части Алеутской гряды вышел следующий тихоокеанский циклон с давлением в центре 990 гПа. На его северной, северо-восточной периферии ветры оставались сильными до 13−18 м/с, волнение – до 3−4 м. Без развития циклон перемещался на восток со скоростью 40 км/ч, 8 числа находился на крайнем юго-востоке моря с давлением в центре 996 гПа.

8−9 апреля на погодные условия Берингова моря оказывал влияние глубокий циклон, который развивался над акваторией Охотского моря. 8 числа на западе Берингова моря, а 9 апреля на большей части акватории наблюдались штормовые условия: ветер до 20−25 м/с, волнение до 6−7 м.

10 апреля на юго-запад акватории вышел циклон с давлением в центре 988 гПа, поддерживая ветер до 15−20 м/с, волнение до 4−5 м. Циклон двигался на северо-восток со скоростью 40 км/ч, в конце суток находился южнее Олюторского залива с давлением в центре 986 гПа.

Северо-западная часть Тихого океана

Циклон, который в конце марта вышел на акваторию северо-западной части Тихого океана с Японского моря, 1 апреля со скоростью 30 км/ч продолжал перемещаться на восток, северо-восток, к концу суток углубился до 992 гПа. Ветер в зоне действия циклона усилился до 15−20 м/с, волнение − до 4−5 м/с. В период 2−3 апреля циклон находился на севере района, замедлил движение, начал взаимодействовать с циклоном, который располагался вблизи юго-восточного побережья Камчатки. 2 апреля оба вихря были с давлением в центре 994 гПа. 3 апреля, заполняясь, циклоническая система отошла на восток вдоль 50° с. ш.

Антициклон, который в конце марта находился в районе с координатами 38° с. ш., 166° в. д. с давлением в центре 1028 гПа, продолжал двигаться на восток со скоростью 30 км/ч. 3 апреля по 35-й параллели переместился в западное полушарие с давлением в центре 1024 гПа.

1 апреля южнее Японии на полярном фронте образовался циклон с давлением в центре 1004 гПа. Двигаясь на северо-восток со скоростью 50 км/ч, он углублялся, 3 апреля в районе с координатами 42° с. ш., 151° в. д. достиг глубины 982 гПа. Скорость ветра в зоне циклона достигала 18−23 м/с, волнение развивалось до 5−7 м. 5 числа циклон вышел на западную часть Берингова моря с давлением в центре 998 гПа.

1 апреля с Восточной Азии на акваторию Тихого океана переместилось ядро с давлением в центре 1018 гПа. Оно двигалось на восток вблизи 30−32° с. ш. со скоростью 30−40 км/ч. 4 апреля, поднявшись к 35° с. ш., антициклон начал усиливаться. Максимального развития достиг 5 апреля, располагаясь примерно в районе с координатами 36° с. ш., 163° в. д., усилился до 1030 гПа. В период 7−8 апреля антициклон двигался на восток, юго-восток со скоростью 20−30 км/ч, давление в его центре составляло 1026 гПа. Он прослеживался на юго-востоке района до конца декады.

Циклон, который 5 числа вышел с Охотского моря на север района с давлением в центре 996 гПа, двигался на восток, северо-восток со скоростью 50 км/ч. В конце суток 6 апреля переместился в Берингово море с давлением в центре 990 гПа. Ветер в зоне циклона не превышал 12−17 м/с, волнение – не более 3 м.

Циклон с давлением в центре 1006 гПа, образовавшийся 5 апреля вблизи восточного побережья о. Хонсю, без развития двигался на восток, северо-восток со скоростью 50−60 км/ч; 7 числа по 43-й параллели переместился в западное полушарие с давлением в центре 1008 гПа.

Наиболее сильный ветер отмечался на юго-восточной периферии циклона, достигал 12−15 м/с; волнение развивалось до 3 м.

8 апреля на акватории района, прилегающей к Курильской гряде, наблюдалось усиление ветра до 18−23 м/с, волнение развивалось до 5−6 м, что обуславливалось активным циклогенезом над Охотским морем и прилегающей частью Тихого океана.

8 апреля с юга Японского моря на акваторию района переместился антициклон с давлением в центре 1022 гПа. Он двигался на восток, северо-восток со скоростью 60 км/ч, 10 числа по 46-й параллели покинул восточное полушарие с давлением в центре 1028 гПа.

9 апреля с Японского моря на акваторию района переместился антициклон с давлением в центре 1024 гПа. Со скоростью 60 км/ч он двигался на восток, северо-восток, усиливался. В конце декады находился в районе с координатами 45° с. ш., 176° в. д., с давлением в центре 1028 гПа.

II декада апреля 2026 г.

Японское море

В начале второй декады, 11−12 апреля, погодные условия большей части акватории определялись тыловой частью циклона с давлением в центре 982 гПа, который со скоростью 30 км/ч перемещался с северо-восточной части Японского моря на юг Охотского. Западные ветры до 13−18 м/с на акватории Японского ветра обусловили волнение до 3−4 м.

В дальнейшем погодные условия определялись полем высокого давления. 12 апреля по югу акватории проследовало ядро с давлением в центре 1018 гПа. 14 апреля над центральной частью моря прошло ядро тоже с давлением в центре 1018 гПа.

В период 16−17 числа по центральной части акватории в восточном направлении проследовало ещё одно ядро с давлением в центре 1022 гПа.

18 апреля над севером акватории прошел циклон с давлением в центре 1000 гПа, не вызвавший усиления ветра и волн. В его тылу восстановилось поле высокого давления, над южной частью моря прошло ядро с давлением в центре 1018 гПа.

20 апреля с северной Кореи переместился развивающийся циклон с давлением в центре 1000 гПа. В конце суток он был над северной частью моря с давлением в центре 992 гПа. Ветер в зоне его воздействия не превышал 9−14 м/с, волнение – до 2 м.

Охотское море

11 апреля на юг Охотского моря с севера Японского моря вышел циклон с давлением в центре 982 гПа. Он двигался на восток, северо-восток со скоростью 30 км/ч, 13 числа приблизился к Камчатке; давление в его центре понизилось до 988 гПа. В дальнейшем, заполняясь, циклон оставался малоподвижным вблизи западного побережья Камчатки; заполнился 17 числа. Скорость ветра в зоне циклона в период максимального развития достигала 15−20 м/с, волнение развивалось до 5−6 м.

16 апреля по крайнему югу акватории проследовал антициклон с давлением в центре 1022 гПа. 18 апреля тоже по югу моря без развития прошел циклон с давлением в центре 1000 гПа, не вызвавший существенного усиления ветра и волн.

В конце декады, 19−20 апреля через юг акватории в юго-восточном направлении скатилось ядро с давлением в центре 1020 гПа.

Берингово море

11−12 апреля циклон, который вышел на юго-запад акватории в конце первой декады, двигался на северо-восток, восток вдоль северной границы моря, заполнялся; давление в его

центре повышалось от 992 до 1006 гПа. В конце суток 12 апреля он переместился на Аляску. Скорость ветра в зоне циклона достигала 15−18 м/с, волнение – до 3−4 м.

13 апреля на акваторию моря переместилась глубокая ложбина от охотоморского циклона, в области которой 14 числа над центральной частью моря образовался циклон глубиной 998 гПа. Циклон быстро перешел в стадию малоподвижной многоцентровой депрессии, давление в центре циклонов составляло 1000−1002 гПа. 17 апреля через Бристольский залив, заполнившись до 1008 гПа, депрессия переместилась на Аляску.

18 апреля на акваторию моря вышел глубокий южный циклон с давлением в центре 964 гПа (рис. 1-3). 19 апреля остановился над центральной частью моря, начал заполняться. Минимальное давление в его центре составило 960 гПа. 20 апреля циклон двигался на восток, в конце суток переместился на Аляску. Скорость ветра с этим процессом достигала штормовых значений − 20−25 м/с, высота волн – до 8−10 м.

Северо-западная часть Тихого океана

Антициклон, который в конце первой декады находился в районе с координатами 45° с. ш., 176° в. д. с давлением в центре 1028 гПа, 11 апреля, не меняя интенсивности, переместился на акваторию северо-восточной части Тихого океана.

Малоподвижный антициклон мощностью 1026 гПа, 11 апреля он располагался в районе координатами 34° с. ш., 172° в. д., медленно оседал к югу, разрушался. Однако 15 апреля его пополнил антициклон, который 12 апреля переместился на акваторию северо-западной части Тихого океана с Японского моря с давлением в центре 1016 гПа. Двигаясь на восток со скоростью 20−30 км/ч, последний незначительно усиливался, 15 апреля вошел в систему вышеупомянутого антициклона. Усилившись, антициклоническая система двигалась на восток со скоростью 30−40 км/ч, 17 числа по 40-й параллели с давлением в центре 1028 гПа покинула восточное полушарие.

14 апреля южнее о. Хонсю на полярном фронте образовался волновой циклон, получивший развитие. Углубляясь, циклон двигался на восток, северо-восток со скоростью 40−50 км/ч. 18 числа с давлением в центре 962 гПа вышел в Берингово море. В зоне действия циклона скорость ветра достигала 20−25м/с, волнение развивалось до 5−6 м. 17 числа на волне холодного фронта южнее основного центра, в районе с координатами 34° с. ш., 158° в. д., наблюдалось образование ещё одного циклона с давлением 998 гПа. Образовавшийся циклон перемещался на восток со скоростью 50 км/ч, достиг глубины 990 гПа, 18 числа в районе с координатами 40° с. ш, 180° в. д. заполнился.

17 апреля с Японского моря вышел антициклон с давлением в центре 1022 гПа. Двигаясь на восток со скоростью 40 км/ч вдоль 38−39° с. ш., он усиливался. 19 апреля по 40-й параллели покинул восточное полушарие с давлением в центре 1026 гПа.

19 апреля с Охотского моря в Тихий океан вышел западный циклон с давлением в центре 1000 гПа. Углубляясь, циклон перемещался на восток со скоростью 40 км/ч. 20 апреля в районе с координатами 49° с. ш., 170° в. д. достиг глубины 988 гПа. Ветер в зоне циклона достигал 15−20 м/с, волнение развивалось до 4−5 м.

20 апреля в район с координатами 30° с. ш., 158° в. д. вышел циклон тропического происхождения, бывший тайфун SINLAKU, с давлением в центре 988 гПа. Двигался на восток со скоростью 40 км/ч, заполнялся. Ветер вблизи его центра ещё был сильным до 18−23 м/с, волнение – до 5−6 м.

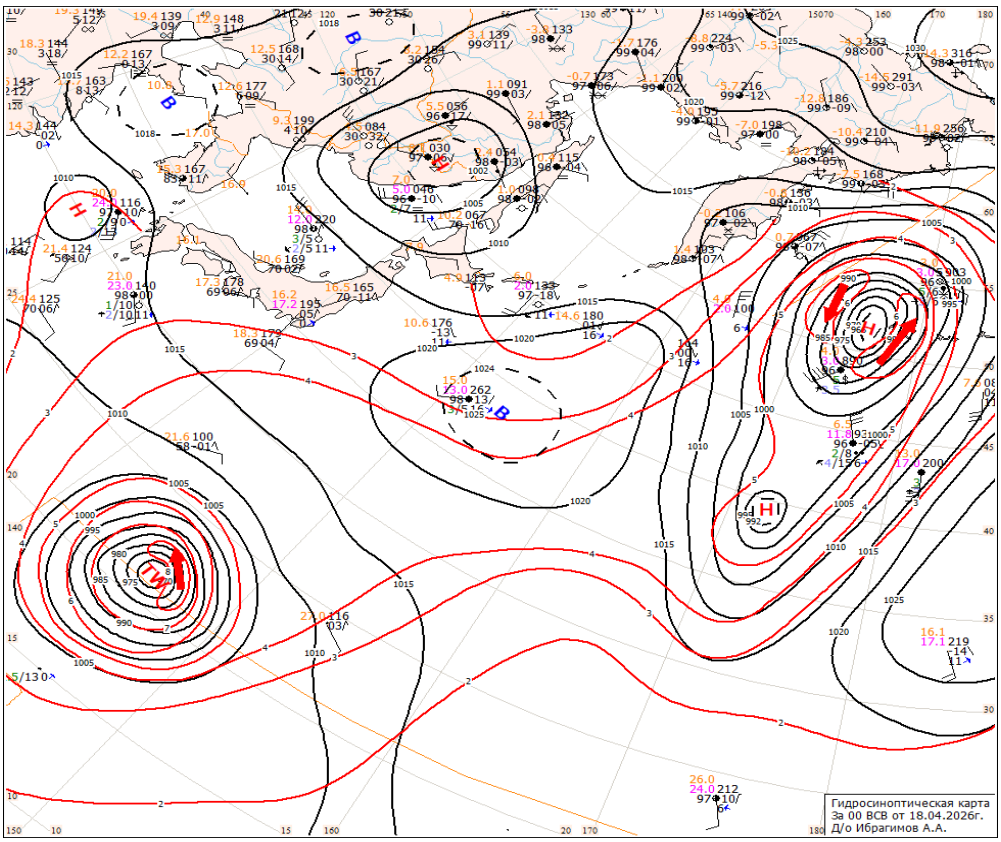


Рис. 1-3 Приземная карта за 00 ВСВ 18 апреля 2026 г.

III декада апреля 2026 г.

Японское море

Циклон, который в конце второй декады находился над северной частью моря с давлением в центре 992 гПа, 21 апреля медленно двигался на север, 22 числа перевалил через Сахалин в Охотское море с давлением в центре 996 гПа. В Японском море ветер усиливался до 10−15 м/с, волнение – до 2−3 м.

В середине декады, 24−25 апреля, над северной частью акватории прошел ныряющий антициклон с давлением в центре 1024 гПа.

В период 26−27 апреля над севером моря в восточном направлении проследовал западный циклон с давлением в центре 1008−1010 гПа, не вызвавший усиления ветра и волн.

28 числа неглубокий циклон прошел над южной частью акватории, давление в его центре составляло 1008−1010 гПа. В тылу циклона 29−30 апреля проследовал антициклон с давлением в центре 1018−1020 гПа.

Охотское море

22 апреля на акваторию Охотского моря с Татарского пролива переместился циклон с давлением в центре 992 гПа. Заполняясь, он двигался на восток со скоростью 20 км/ч, 23 апреля через центральные Курилы переместился в Тихий океан с давлением в центре 1004 гПа. Циклон не вызвал усиления ветра и волн.

В дальнейшем погодные условия определялись преимущественно полем высокого давления. Ветер и волнение были умеренные.

В период 28−29 апреля над Тихим океаном вблизи Курильской гряды наблюдался активный циклогенез, обусловивший на юго-востоке моря усиление ветра до 12−17 м/с, волнение до 2−3 м.

Берингово море

22 апреля на акваторию Берингова моря вышел тихоокеанский циклон с давлением в центре 974 гПа. Он медленно двигался на восток, северо-восток, 26 числа заполнился в районе Анадырского залива. Минимальное давление в его центре − 964 гПа, отмечалось в конце суток 22 апреля. Скорость ветра, обусловленная циклоном, достигала 18−23 м/с, волнение развивалось до 6−7 м.

26 апреля на акваторию моря вышел следующий глубокий циклон с давлением в центре 956 гПа. Циклон медленно двигался на север, северо-восток, заполнялся, 30 апреля над севером моря прекратил свое существование. Скорость ветра в период максимального развития циклона достигала 20−25 м/с, волнение развивалось до 6−7 м.

Северо-западная часть Тихого океана

Циклон тропического происхождения, который вышел на акваторию района в конце второй декады, двигался на восток со скоростью 40 км/ч, заполнялся, 22 числа с давлением в центре 1004 гПа покинул восточное полушарие по 32° с. ш.

Ядро, которое 20 апреля скатилось с Охотского моря с давлением в центре 1020 гПа, 21 апреля двигалось на юго-восток со скоростью 30 км/ч, утратило самостоятельную циркуляцию 22 числа примерно в районе с координатами 36° с. ш., 172° в. д.

22 апреля от южных островов Японии на акваторию района переместилось ядро с давлением в центре 1018 гПа. Продолжая двигаться на восток со скоростью 30 км/ч, оно усиливалось; 24 апреля с давлением в центре 1026 гПа по 35-й параллели покинуло восточное полушарие.

В конце суток 21 апреля в районе с координатами 29° с. ш., 118° в. д. образовался волновой циклон с давлением 1006 гПа. Двигаясь на восток, северо-восток со скоростью 50−70 км/ч, циклон углублялся; 25 апреля находился на крайнем северо-востоке района с давлением в центре 980 гПа. 26 апреля, углубившись до 956 гПа, он вышел на акваторию Берингова моря. Скорость ветра в зоне циклона достигала 23−28 м/с, волнение развивалось до 6−7 м.

25 апреля с Японского моря в северо-западную часть Тихого океана переместился антициклон с давлением в центре 1024 гПа. Двигаясь на восток со скоростью 40 км/ч, он усиливался; 28 апреля по 34-й параллели переместился в западное полушарие с давлением в центре 1030 гПа.

26 апреля южнее о. Хонсю на полярном фронте образовался циклон с давлением в центре 1006 гПа. Двигаясь на восток, северо-восток со скоростью 60 км/ч, циклон углублялся, 30 числа по 49-й параллели покинул восточное полушарие с давлением в центре 980 гПа. Скорость ветра в зоне циклона достигала штормовой силы, 20−25 м/с, волнение развивалось до 6−7 м.

Циклон с давлением в центре 1000 гПа, он образовался 28 апреля в районе центральных островов Курильской гряды, перемещался на восток со скоростью 20−30 км/ч, углублялся. 29 апреля давление в его центре составляло 994 гПа. Ветер в зоне циклона усиливался до 12−17 м/с, волнение – до 3−4 м. 30 апреля, не меняя давления, циклон находился на северо-востоке района.

Циклон глубиной 1010 гПа, 29 апреля он переместился с Японского моря, двигался над акваторией района на восток, северо-восток со скоростью 60−70 км/ч, углублялся; 30 апреля по 42-й параллели переместился в западное полушарие с давлением в центре 992 гПа. На южной периферии циклона ветер был сильный до 13−18 м/с, волнение – до 3−4 м.

30 апреля с Японского моря в северо-западную часть Тихого океана переместился антициклон с давлением в центре 1022 гПа. Усиливаясь, он двигался на восток со скоростью 40 км/ч.

1.2 Анализ термобарических полей

Карты термобарических полей месячного разрешения над районом обзора построены на основе данных реанализа ERA5, приведены ниже на рис. 1-4−1-6. Для анализа использованы средние за месяц карты барической топографии для стандартного изобарического уровня 500 гПа (средняя тропосфера), давления на уровне моря и температуры воздуха на стандартном изобарическом уровне 850 гПа (нижний слой тропосферы). Аномалии рассчитаны относительно средних многолетних значений за период 1991−2020 гг.

Таким образом, с марта 2026 г. в рамках данного проекта анализ термобарических полей выполняется на основе реанализа ERA, созданного ECMWF (взамен реанализа NCEP/NCAR); аномалии вычисляются относительно многолетнего периода 1991−2020 гг. (на предыдущем этапе использовался период 1981−2010 гг.)

Региональный обзор

В апреле высотное барическое поле по сравнению с мартом приобрело более «правильное» зональное распределение. Поля аномалий существенно сгладились. Полярная зона региона преимущественно находилась в депрессионном поле, что незначительно отличалось от нормы. Одна из депрессий сформировалась над северо-востоком Охотского моря, Камчаткой, вторая, более глубокая, – над Таймыром. Аномалии геопотенциальных высот поверхности H_{500} в области депрессий отрицательные, до -2…-3 дам. Наиболее заметный очаг отрицательных аномалий сформировался в ложбине таймырской депрессии, ориентированной на правые притоки Енисея и верховье Лены. От обширного барического гребня, господствующего над значительной территорией региона в феврале-марте, остался относительно слабый антициклон, вытесненный в Восточную Арктику. В зоне антициклона геопотенциальные высоты поверхности H_{500} выше нормы на 4−6 дам. Высотная фронтальная зона, достаточно напряженная, была слабо деформирована пологой ложбиной над дальневосточным побережьем и гребнем над северо-восточной частью Тихого океана. В области последнего сформировались наиболее значительные аномалии, достигающие +8…+16 дам. Над тропической зоной региона, как и положено, повышенное давление, без существенных отклонений от нормы (рис. 1-4).

У земной поверхности над Центральной Азией ещё отчетливо прослеживался азиатский антициклон, ослабевающий в соответствии с сезоном; его мощность была слабее нормы примерно на 2−3 гПа. В целом над большей частью умеренных и тропических широт материка, в том числе, в районах климатического положения азиатской и амурской депрессий, атмосферное давление было ниже нормы на 2−3 гПа. Над тихоокеанским бассейном делили влияние два барических объекта, алеутская депрессия и обширный тихоокеанский антициклон. Алеутская депрессия была представлена одним компактным циклоном, располагалась над южной частью Берингова моря, была глубже климатической нормы на 4−6 гПа. Тихоокеанский антициклон − в виде двух обширных ядер. Одно из них доминировало над субтропической зоной и прилегающими умеренными широтами восточного полушария. Второе, более мощное, занимало большую часть северо-восточного сектора Тихого океана, определяя значительные положительные аномалии атмосферного давления, достигающие +8..+13 гПа. Еще один антициклон, влияющий на погодные условия региона, наблюдался над восточным сектором Арктики, был мощнее обычного примерно на 2−3 гПа (рис. 1-5).

Японское море

В средней тропосфере над Японским морем сохранялся устойчивый западно-восточный перенос воздуха. В среднем за месяц воздушная масса над морем была теплее климатической нормы − аномалии геопотенциальных высот поверхности H_{500} положительные в пределах +1…+5 дам.

У земной поверхности над морем наблюдалось малоградиентное поле атмосферного давления, относительно повышенное над южной частью акватории и пониженное над северной половиной. Фон атмосферного давления близок к климатическому, аномалии атмосферного давления слабые отрицательные до -1…-2 гПа.

Температура воздуха на уровне H_{850} (нижняя тропосфера) над морем распределена от +8 °С на юге до -6 °С на севере. Это состояние превышает норму на 1−3 °С. За месяц температура воздуха повысилась на 3−7 °С.

Охотское море

В средней тропосфере над северо-восточной частью моря установилась депрессия, здесь аномалии геопотенциальных высот поверхности H_{500} слабые отрицательные до -1…-3 дам. Над южной половиной Охотского моря наблюдался западно-восточный перенос воздуха, сформировались положительные аномалии геопотенциальных высот до +2…+3 дам (воздушная масса незначительно теплее климатической нормы).

У земной поверхности большая часть Охотского моря находилась под воздействием пониженного атмосферного давления, северо-запад акватории – в поле повышенного давления. Фон атмосферного давления над морем близок к климатическому, лишь на северо-востоке вблизи побережья Камчатки он ниже нормы на 2−3 гПа.

В нижнем слое тропосферы (на уровне поверхности H_{850}) наиболее холодный воздух был сосредоточен над северо-восточной частью моря в области депрессионного поля. Средние за месяц температуры воздуха в этом районе были ниже нормы примерно на 1 °С, в пределах -10…-12 °С; по отношению к марту понизились на 2−4 °С. Над южной частью моря температуры воздуха − от -1 до -6 °С, превышали норму на 1−2 °С, за месяц повысились на 2−4 °С.

Берингово море

В средней тропосфере большая часть Берингова моря находилась в депрессионном поле, крайний юго-восток – под воздействием юго-западных потоков. Воздушная масса над западной, северо-западной частью акватории была относительно прохладной − аномалии геопотенциальных высот поверхности H_{500} слабые отрицательные до -2…-3 дам. Юго-запад акватории – в теплой воздушной массе, аномалии геопотенциальных высот поверхности H_{500} положительные до +4…+6 дам.

У поверхности земли акватория моря находилась под влиянием глубокой депрессии. В среднем за месяц атмосферное давление над морем ниже нормы на 2−6 гПа. Это не относится лишь к крайней юго-восточной части акватории, где сказывалось влияние тихоокеанского антициклона, давление здесь выше нормы на 1−5 гПа.

Температура воздуха в нижнем слое тропосферы на уровне H_{850} над морем распределена от -4 °С на юге, юго-востоке акватории до -10…-11 °С на северо-западе. За месяц температура воздуха над восточной частью моря повысилась на 4−6 °С, на западе стала ниже на 2−4 °С. По отношению к норме над юго-восточной часть акватории воздушная масса была теплой, аномалии температуры составляли +1…+2 °С; над западной частью и на севере было холоднее обычного примерно на 1 °С.

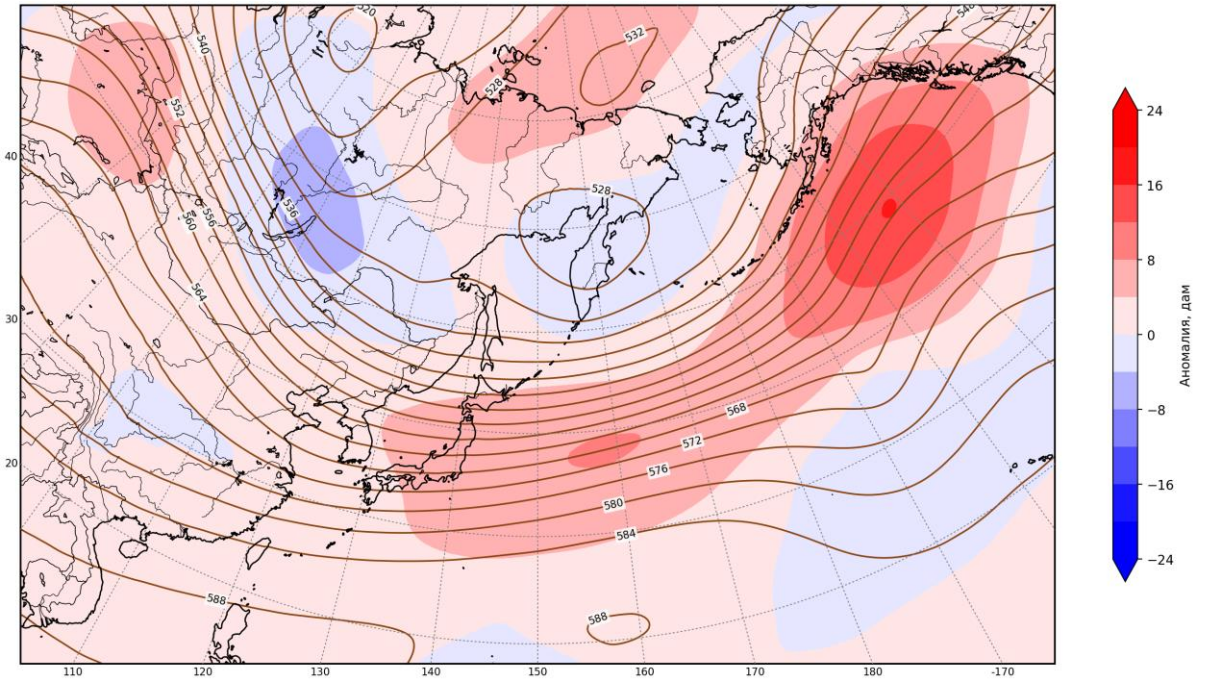


Рис. 1-4 Среднее поле H_{500} (изогипсы) и его аномалии (изополосы) в апреле 2026 г. (дам)

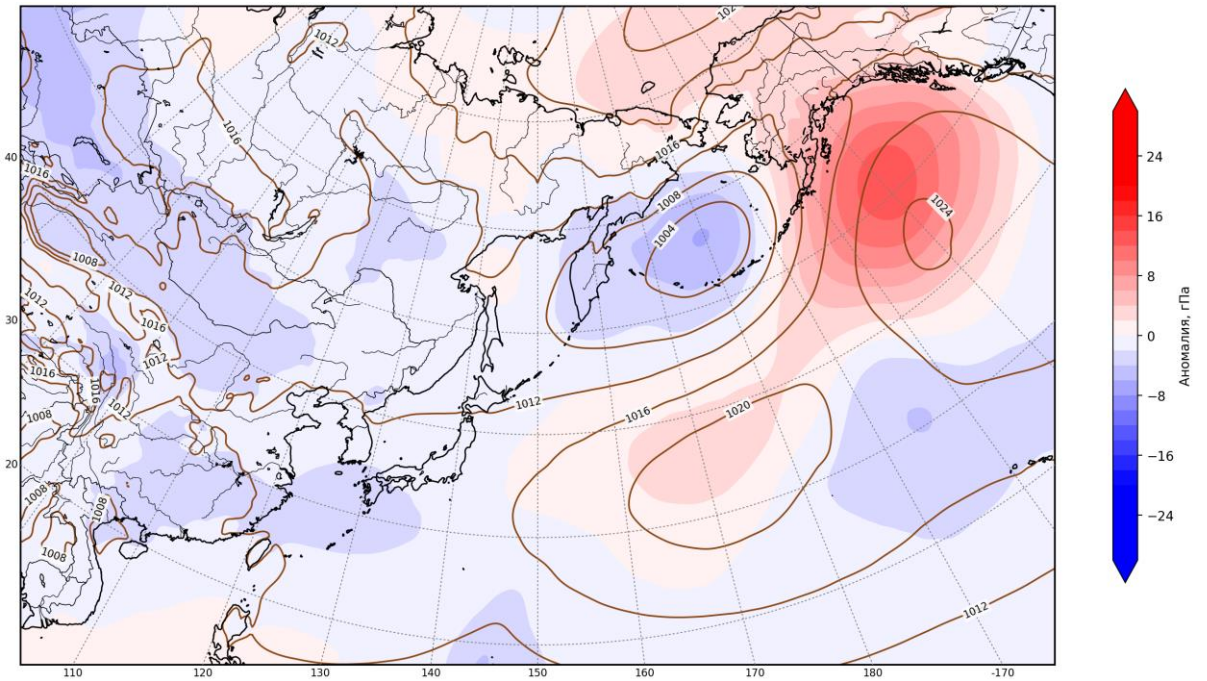


Рис. 1-5 Среднее поле атмосферного давления у поверхности земли (изобары) и его аномалии (изополосы) в апреле 2026 г. (гПа)

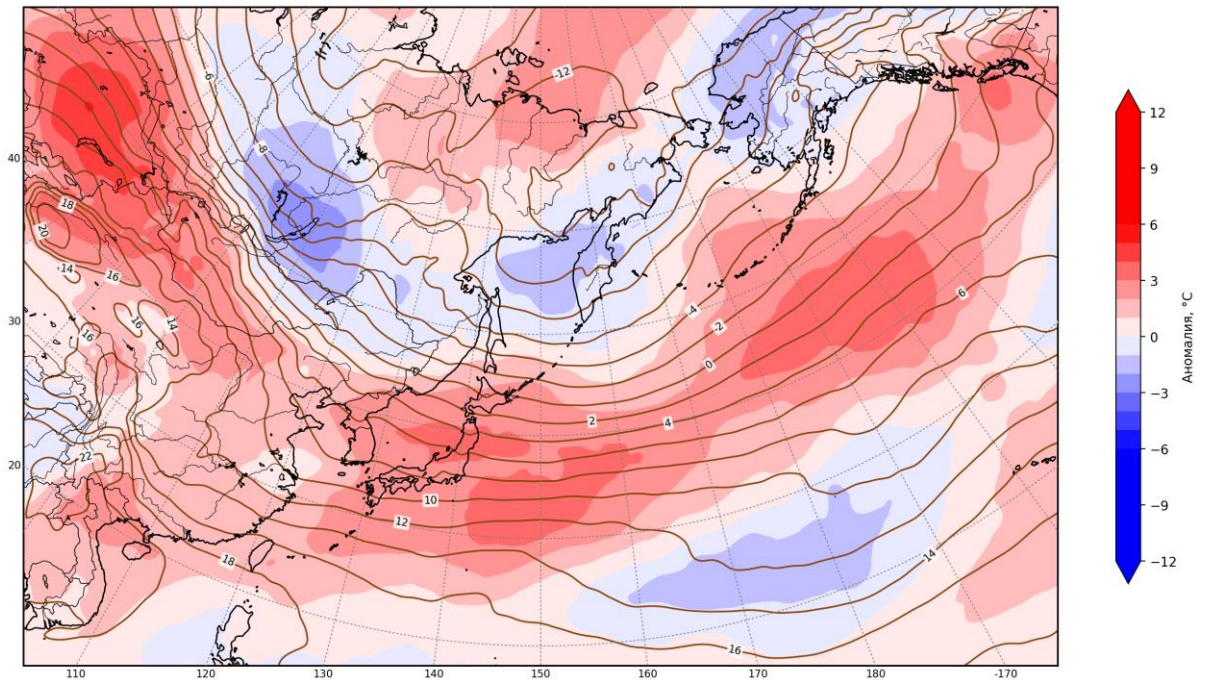


Рис. 1-6 Среднее поле T_{850} (изотермы) и его аномалии (изополосы) в апреле 2026 г. (°C)

1.3 Региональные индексы циркуляции атмосферы

1.3.1 Зональный и меридиональный перенос воздуха над II е. с. р.

Характеристика основных воздушных течений в средней и нижней тропосфере за апрель 2026 г. выполнена на основе индексов атмосферной циркуляции, приведенных ниже в таблице и на рис. 1-7−1-9. В данном разделе для характеристики индексов принята следующая терминология: норма – ±0,3STD относительно нормы; незначительное отклонение от нормы – ±(0,4–0,7)STD; значительное отклонение от нормы – ≥2,0STD. Аномалии рассчитаны относительно средних многолетних значений (нормы) за период 1991−2020 гг.

С марта индексы рассчитываются на основе реанализа ERA, созданного ECMWF (взамен реанализа NCEP/NCAR), и нормы 1991—2020 гг.

Японское море

В апреле во всем слое тропосферы над Японским морем сохранялось преобладание переноса воздуха с запада на восток (значения зональных индексов положительные). Его интенсивность превышала норму в средней тропосфере и была близка к климатической у поверхности земли (Kz соответственно равен 0,9STD и -0,1STD).

Интенсивность межширотного обмена над Японским морем была незначительно слабее обычного (|Km| равен -0,7STD как в средней тропосфере, так и у поверхности земли). При этом многолетний баланс между меридиональными составляющими оставался близким к климатическому (Km равен 0,3STD и -0,2STD в средней тропосфере и у поверхности земли соответственно). В средней тропосфере в среднем за месяц сохранялось преобладание движений воздуха с севера (значение меридионального индекса отрицательное), у поверхности земли сформировалось незначительное преобладание движений с юга (значение индекса положительное).

Охотское море

В средней тропосфере над Охотским морем преобладал перенос воздуха с запада на восток (значение зонального индекса положительное), его интенсивность незначительно превышала норму (Kz равен 0,7STD). В нижнем слое тропосферы сохранилось преобладание движений воздуха с востока (значение зонального индекса отрицательное), по интенсивности близких к норме (Kz − 0,0STD).

Интенсивность межширотного обмена во всем слое тропосферы над Охотским морем незначительно отличалась от нормы (|Km| равен -0,4STD и 0,3STD соответственно в средней тропосфере и у поверхности земли). Многолетний баланс между меридиональными составляющими был нарушен в сторону большего количества движений с севера (Km соответственно равен -0,6STD и -0,8STD). В среднем за месяц во всем слое тропосферы наблюдалось доминирование движений воздуха с севера (значения меридиональных индексов отрицательные).

Берингово море

Над Беринговым морем во всем слое тропосферы установился западно-восточный перенос воздуха (значения зональных индексов положительные); его интенсивность незначительно превышала норму в средней тропосфере и была близка к норме у поверхности земли (Kz соответственно равен 0,6STD и 0,3STD).

Интенсивность меридиональных движений воздуха во всем слое тропосферы над Беринговым морем превышала климатическую норму (|Km| равен 1,5STD и 1,9STD соответственно в средней тропосфере и у поверхности земли), что определялось усилением южной компоненты (Km равен 2,2STD и 1,9STD соответственно). Во всем слое тропосферы установилось доминирование движений воздуха с юга (значения меридиональных индексов положительные).

Индексы циркуляции атмосферы и их аномалии по II е. с. р.

Индекс*	Уровень (высота)	Февраль			Март			Апрель		
		значение	ASTD**	STD**	значение	ASTD**	STD**	значение	ASTD**	STD**
Kz Ям	500 гПа	27500	1.7	2900	17369	-1.3	4505	23869	0.9	4113
Kz Ом		7458	0.9	4422	873	-1.5	3273	10871	0.7	3547
Kz Бм		8290	1.2	5311	6488	0.4	4983	10645	0.6	5129
Kz 35_50		21126	-0.1	3137	13272	-2.5	3777	22245	0.4	3150
Kz 50_70		4677	0.6	2629	8431	1.6	2521	5054	-0.6	2181
Kz 35_70		11727	0.3	1865	10535	-1.0	1791	12407	-0.2	1168
Km Ям		-2999	1.1	1813	-3155	0.5	1808	-794	0.3	2016
Km Ом		2904	1.4	1695	5326	3.6	1465	-957	-0.6	1696
Km Бм		4702	1.2	2023	-3731	-4.1	1419	3203	2.2	1317
Km 35_50		194	1.1	1150	-489	0.2	878	-441	0.4	706
Km 50_70		939	1.1	938	692	1.9	536	71	0.9	528
Km 35_70		619	1.2	937	189	1.2	568	-146	0.8	467
|Km| Ям		4175	-1.1	2419	4311	-0.6	2329	1770	-0.7	1754
|Km| Ом		4935	1.1	1465	8987	4.9	1262	2346	-0.4	1351
|Km| Бм		8188	0.9	3227	8492	2.0	2031	5525	1.5	1595
|Km| 35_50		6212	0.3	1153	4525	-0.9	1104	4261	0.3	668
|Km| 50_70		5148	0.2	1480	7323	2.5	1213	3481	0.1	797
|Km| 35_70		5588	0.3	1138	6125	1.6	815	3804	0.2	578
Kz Ям	1000 гПа	3587	2.1	1346	864	-1.4	1160	4242	-0.1	1269
Kz Ом		-697	0.5	2271	-4307	-1.9	1551	-201	0.0	1502
Kz Бм		-1224	1.5	2649	-2430	0.3	3061	982	0.3	2613
Kz 35_50		2299	-0.1	1589	-2322	-4.0	1387	4350	0.4	1290
Kz 50_70		-2402	0.0	1514	493	1.9	1492	-2340	-0.6	1317
Kz 35_70		-403	0.0	1031	-703	-1.0	820	524	-0.4	706
Km Ям		-2832	1.7	1125	-1617	1.0	750	106	-0.2	875
Km Ом		-1919	1.7	1153	841	2.6	1362	-1054	-0.8	1032
Km Бм		912	0.9	1487	-1185	-0.6	1139	1317	1.9	945
Km 35_50		-455	1.2	823	4	0.9	560	545	0.5	417
Km 50_70		-608	0.8	665	432	3.5	393	-174	0.7	336
Km 35_70		-538	1.1	691	251	2.8	356	135	0.7	324
|Km| Ям		4216	-1.6	1444	2594	-1.1	875	1810	-0.7	631
|Km| Ом		3913	-1.8	1700	2793	-1.1	1908	2599	0.3	775
|Km| Бм		2353	-0.9	1693	4780	1.2	1102	4749	1.9	1039
|Km| 35_50		3716	-1.5	790	2976	-1.1	569	2934	0.0	267
|Km| 50_70		5144	-1.3	784	3749	-0.6	702	3183	0.5	474
|Km| 35_70		4531	-1.7	624	3419	-0.9	564	3075	0.4	326

* Описание индексов приведено в разделе «Терминология».

** Климатические характеристики (STD, ASTD) рассчитаны относительно норм 1981–2010 гг.

Умеренные широты между 35° и 50° с. ш. над II е. с. р.

В зоне умеренных широт между 35° и 50° с. ш. над II е. с. р. западно-восточный перенос во всем слое тропосферы был преобладающим (зональные индексы положительные). Его интенсивность незначительно превышала норму (Kz равен 0,4STD как в средней тропосфере, так и у поверхности земли).

Межширотный обмен в указанной широтной зоне был близок к норме (|Km| равен 0,3STD и 0,0STD соответственно в средней тропосфере и у поверхности земли). Многолетний баланс между меридиональными составляющими незначительно нарушен в пользу южной составляющей обмена (Km соответственно равен 0,4STD и 0,5STD). В среднем за месяц в средней тропосфере незначительно больше было движений воздуха с севера (значение меридионального индекса отрицательное), у поверхности земли – с юга (значение индекса положительное).

Широтная зона 50–70° с. ш. над II е. с. р.

В средней тропосфере над широтной зоной 50–70° с. ш. II е. с. р. в течение месяца западно-восточный перенос воздуха оставался доминирующим течением (значение зонального индекса положительное); его интенсивность незначительно слабее нормы (Kz равен -0,6STD). В нижнем слое тропосферы сформировалось устойчивое преобладание движений воздуха с востока на запад (значение индекса отрицательное, Kz равен -0,6STD).

Интенсивность межширотного обмена в средней тропосфере над указанной широтной зоной близка к норме, у поверхности земли незначительно превышала норму (|Km| равен 0,1STD и 0,5STD соответственно в средней тропосфере и у поверхности земли). Многолетний баланс между меридиональными составляющими нарушен в пользу южной компоненты обмена (Km − 0,9STD и 0,7STD соответственно). В среднем за месяц в средней тропосфере количество движений как с севера, так и с юга было почти равным, в нижнем слое тропосферы сформировалось слабое доминирование северной составляющей обмена (значение меридионального индекса отрицательное).

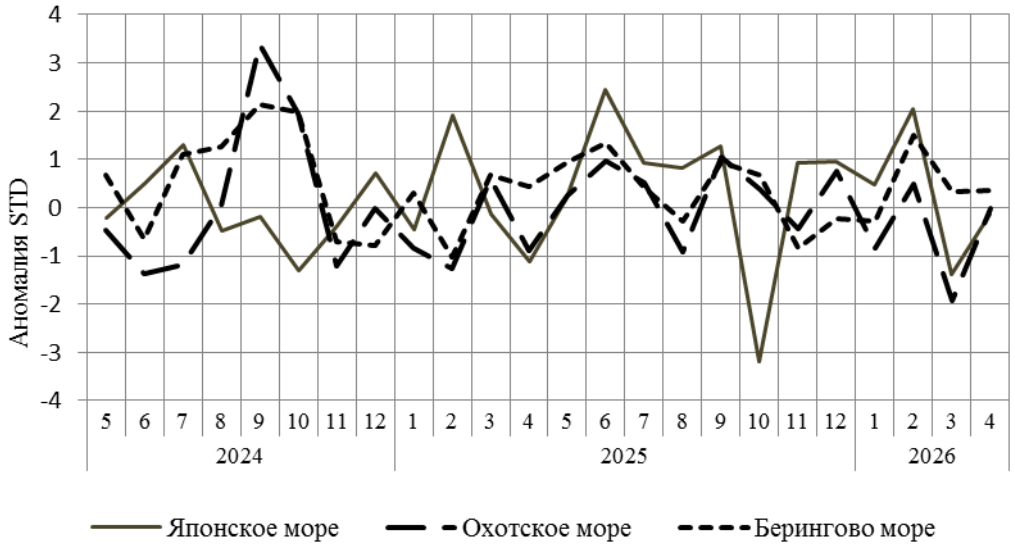


Рис. 1-7 Годовой ход стандартизованных аномалий индекса интегрального зонального переноса воздуха с учетом знака (Kz) в нижней тропосфере над дальневосточными морями

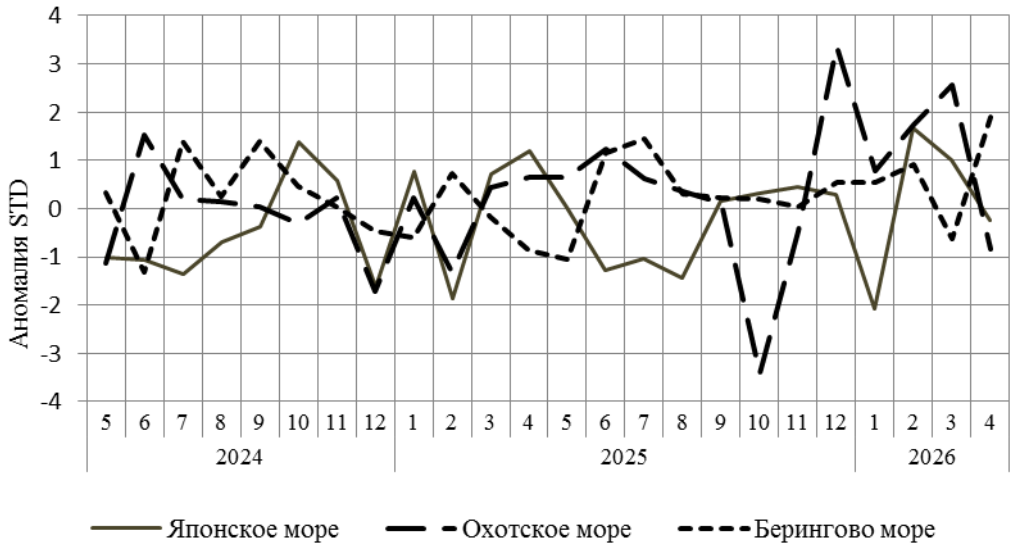


Рис. 1-8 Годовой ход стандартизованных аномалий индекса интегрального меридионального переноса воздуха с учетом знака (Km) в нижней тропосфере над дальневосточными морями

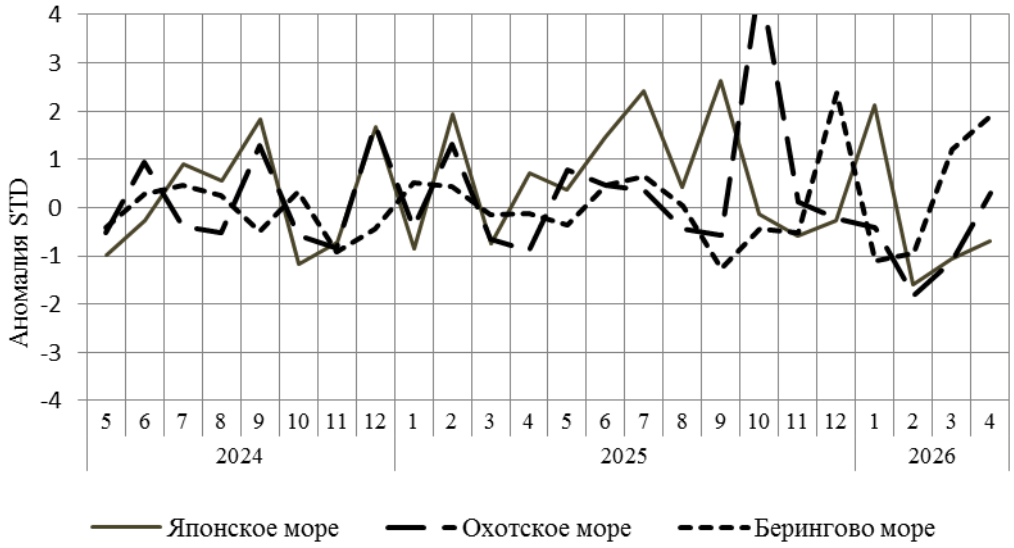


Рис. 1-9 Годовой ход стандартизованных аномалий индекса интегрального меридионального переноса воздуха без учета знака (|Km|) в нижней тропосфере над дальневосточными морями